



## فصلنامه علمی ((دفاع هوافضایی ))

دوره ۱، شماره ۴، اسفند ۱۴۰۱



## مقاله پژوهشی

**بهبود خاصیت گسیل میدانی نانولوله کربنی چند دیواره بهوسیله انباشت اکسید روی برای استفاده در نانوگسیل کننده‌های میدانی**

پیمان فرازمند<sup>۱</sup>

۱. دانشجوی کارشناس ارشد برق، دانشگاه صنعتی مالک اشتر، مدرس دانشگاه خاتم الانبیاء (ص)، تهران، ایران.

## چکیده

آرایه‌ای از نانوگسیل کننده‌های میدانی برای استفاده در ابزارهایی مانند لامپ‌های خلاء که در تجهیزات نظامی مانند رادارها و سلاح‌های مبتنی بر امواج الکترومغناطیس به کار می‌روند، مورد استفاده قرار می‌گیرد. ساخت این آرایه‌ها مبتنی بر نانولوله‌های کربنی به انجام رسیده است. در اینجا نانوکامپوزیت نانولوله کربنی با اکسیدروی به طور موفقیت آمیزی با یک روش متفاوت تهیه شد. ابتدا نانولوله‌های کربنی چند دیواره (MWCNT) به روش انباشت شیمیایی بخار با پلاسمای افزایشی (PECVD) آماده و سپس اکسید روی بر نانولوله‌ها پوشانده شد. برای این منظور، از روش انباشت فیزیکی بخار گرمایی (TPVD) استفاده شد و لایه نازکی از روی انباشته و سپس اکسید گردید. طیف‌سنجی رaman نمونه‌های آماده شده، حضور اکسید روی را بر روی بدنه نانولوله‌های کربنی تأیید می‌کند. با استفاده از تصاویر میکروسکوپ الکترونی روبشی (SEM)، نانوذرات اکسید روی دانه مانند روی دیواره‌های نانولوله‌های کربنی دیده شد. بهوسیله اندازه‌گیری‌های خاصیت گسیل میدانی مشاهده شد که نانولوله کربنی پوشیده شده با اکسید روی گسیل بهتری را از نانولوله‌های بدون پوشش نشان می‌دهند. از این کامپوزیت می‌توان در لامپ‌های خلاء که بر پایه خاصیت گسیل میدان کار می‌کنند به جای کاتد سرد استفاده نمود. قبل از این، چنین لامپ‌هایی با نانولوله کربنی خالص ساخته شده‌اند.

## اطلاعات مقاله

تاریخ پذیرش: ۱۴۰۱/۱۲/۲۳

تاریخ دریافت: ۱۴۰۱/۰۷/۱۲

## کلمات کلیدی:

نانوگسیل کننده‌های میدانی، نانولوله کربنی، اکسید روی، گسیل میدانی.



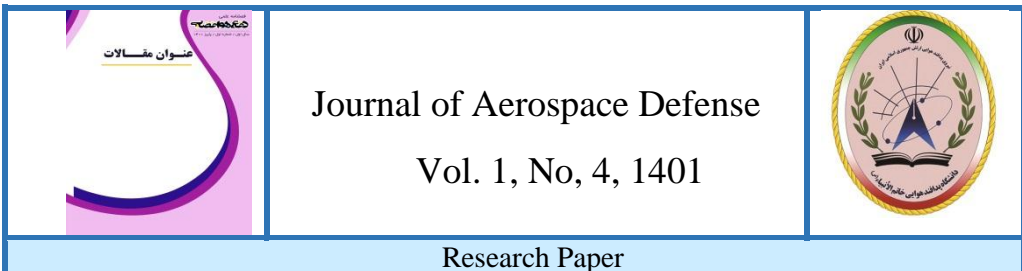
## نویسنده مسئول:

پیمان فرازمند

## ایمیل:

peyman.farazmand@gmail.com

**استناد به مقاله:** پیمان فرازمند، بهبود خاصیت گسیل میدانی نانولوله کربنی چند دیواره بهوسیله انباشت اکسید روی برای استفاده در نانوگسیل کننده‌های میدانی، مجله علمی دفاع هوافضایی، دوره ۱، شماره ۴، اسفند ۱۴۰۱.



## Improving the FEM properties of MWCNTs by deposition ZnO for use in field nanoemitters

Peyman Farazmand<sup>1</sup>

1. Ph.D. student in physics, lecturer at Khatam Ol Anbia (PBU) University, Tehran, Iran.

### Article Information

**Accepted:** 1401/12/23

**Received:** 1401/07/12

### Keywords:

Nano-field emitters; Carbon nanotube; Zinc oxide; Field emission .



### Corresponding author:

Peyman Farazmand

### Email:

[peyman.farazmand@gmail.com](mailto:peyman.farazmand@gmail.com)

### Abstract

Array of nano-field emitters is used in devices such as vacuum tubes that are used in military equipment such as radars and electromagnetic weapons. These arrays have been realized based on carbon nanotubes (CNTs). In this article, carbon nanotube and zinc oxide (CNT-ZnO) nanocomposite were successfully synthesized with a different method. We have initially prepared multi-walled carbon nanotubes (MWCNTs) by the plasma enhanced chemical vapour deposition method. Alternatively, we used thermally physical vapour deposition for making thin Zn film to oxidize it later. Scanning electron microscopy and also Raman spectroscopy measurements of the prepared samples confirmed the presence of ZnO nano particles on the CNT bodies. By field emission (FE) measurements we found that ZnO deposited CNTs have a more efficient emissivity than that of CNTs alone. This composite can be used instead of cold cathode in vacuum tubes that work based on field emission properties. Before this, such tubes have been made with pure CNTs.

**HOW TO CITE:** Peyman Farazmand, Improving the FEM properties of MWCNTs by deposition ZnO for use in field nanoemitters, Journal of Aerospace Defense, Vol. 1, No, 4, 1401.

## ۱. مقدمه

گسیل میدانی یعنی کنده‌شدن الکترون‌ها از یک فیلامان در اثر میدان الکتریکی به قدر کافی بالا، یکی از روش‌هایی است که تحت عنوان کلی کاتد سرد برای منبع تولید الکترون‌ها در ابزارهای الکترونیکی مرتبط با خلاء مانند لامپ‌های توان بالا برای استفاده در تجهیزاتی مانند رادار، سلاح‌های الکترومغناطیسی و سایر تجهیزاتی از این دست مورد استفاده قرار می‌گیرد. مواد نانوساختار یک بعدی به‌واسطه خواص فیزیکی منحصر به فردشان و همچنین کاربردهای پتانسیلی در ساخت ابزارها در اندازه نانو با تکنولوژی بالا، همواره مورد توجه خاص قرار دارند [۱]. نanolوله‌ها و نانوسمیم‌ها به‌عنوان منابع ایده‌آل گسیل میدانی الکترون گزینه‌های نویدبخشی هستند، به این دلیل که نسبت طول به قطر آن‌ها بالاست و شعاع انحنای نوک آن‌ها کوچک است [۲]. از زمان کشف نanolوله‌های کربنی در سال ۱۹۹۱ میلادی [۳]، در زمینه کاربرد آن‌ها به‌عنوان منابع گسیل میدان الکترون در ابزارهای مختلف از نمایشگرهای صفحه‌تخت گرفته تا میکروسکوپ‌های الکترونی بررسی و تحقیق شده است [۴-۸].

همچنین ایده استفاده از نanolوله‌های کربنی یا کامپوزیت‌های مبتنی بر آن در تولید منابع تولید توان اولیه لامپ‌ها به این دلیل مورد توجه است که می‌توان با تولید یک گسیل کننده توان نانویی و سپس آرایه‌سازی آن‌ها، منابع تولید توان موردنیاز برای انواع لامپ‌های موردنیاز را تولید نمود. استفاده از آرایه‌ای از نانوگسیل کننده‌های میدانی، مزایای زیادی نظیر فشردگی و کوچک بودن، زمان عبور کوتاه الکترون، چگالی جریان بالا و رسانایی بیشتر در مقایسه با همتایان گرمایی است [۹] و این امر باعث شده سیاری از محققان روی ترکیب فناوری لامپ‌های موج رونده (TWT) و کلایسترون‌ها با مبنای فناوری آرایه‌های نانوگسیل کننده‌های میدانی در باند مایکروویو تحقیق و با موفقیت آن را به انجام برسانند.

لامپ‌های خلاء نانوکلایسترون [۹]، موج رونده و ژیروتون [۱۰ و ۱۱]، نانوکلایسترون‌های نوین تتراهرتز [۱۲ و ۱۳]، نوسان‌ساز کلایسترون بازتابی [۱۴] نتیجه همین تحقیقات است. روش‌های مختلفی نظیر تخلیه قوس، تبخیر لیزری، و انباشت شیمیایی بخار برای تولید nanolوله‌های کربنی مورد استفاده قرار گرفته‌اند، که از بین این روش‌ها مؤثرترین روش برای تهیه فیلم‌های الگودار نازک از nanolوله‌های کربنی چند دیواره، روش انباشت شیمیایی بخار است. همچنین، بیشتر تحقیقات مشخصات گسیل میدانی الکترون nanolوله‌های کربنی، نظیر میدان روش‌شدن، میدان آستانه، و فاکتور افزایش میدان را مورد بررسی قرار داده‌اند [۱۵-۱۷].

اکسید روی توجه گسترده‌ای را به خاطر عملکرد و کاربردش در سیستم‌های الکترونیکی، نوری و فوتونیکی به خود جلب نموده است [۱۸]. از طرفی اکسید روی، به‌عنوان یک اکسید، به خاطر قدرت مکانیکی بالا، کیفیت نوری خوب، پایداری شیمیایی و ویژگی‌های پیزوالکتریکی فوق العاده خواص بسیار قابل توجهی نشان می‌دهد [۱۹].

در این مقاله نانوکامپوزیتی به شکل نانولوله‌های کربنی پوشیده شده با اکسید روی ساخته شده و خواص الکترونیکی آن بررسی گردیده است. تغییراتی در ساختار ظاهری نمونه‌ها و همچنین تغییراتی در خاصیت گسیل میدانی نمونه‌ها در مراحل مختلف تحقیق مشاهده شد.

## ۲. بخش تجربی

نانولوله‌های کربنی جهت‌دار عمودی با روش PECVD آماده شده‌اند. بدین‌منظور، ابتدا یک لایه نیکل با ضخامت ۷ تا ۹ نانومتر به عنوان کاتالیست روی یک بستر سیلیکونی نوع P (۱۰۰) بهوسیله انباشت پرتو الکترونی در یک محفظه با فشار  $3 \times 10^{-2}$  تور و دمای ۲۵۰ درجه سانتیگراد، انباشته شد. سپس بستر نیکل در محفظه انباشت شیمیایی بخار با پلاسمای افزایشی جریان مستقیم (DCPECVD) قرار داده و برای ۳۰ دقیقه در دمای ۷۲۰ درجه سانتیگراد بازپخت گردید. بازپخت در جریان گاز هیدروژن با شار ۱۰۰ سانتی‌متر مکعب بر دقیقه استاندارد (sccm) انجام و فشار محفظه در مقدار ۷ تور کنترل شد. این بستر، به منظور تولید جزایر نانومتری که پایه رشد نانولوله هستند، تحت پلاسمای هیدروژن با توان ۰/۸۹ وات بر سانتی‌متر مربع برای ۷ دقیقه قرار گرفت.

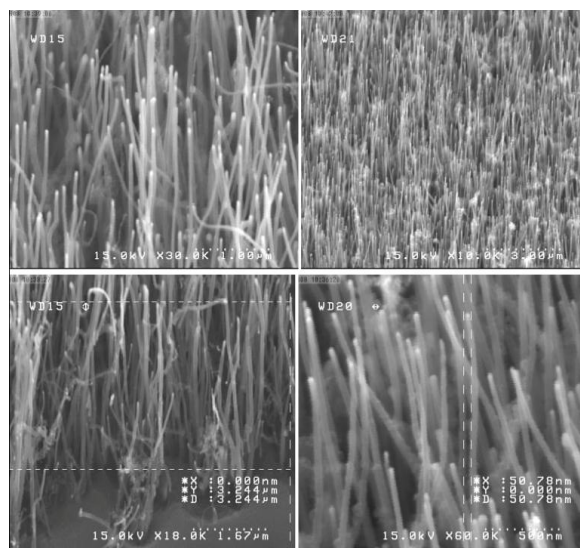
سپس گاز استیلن با شار ۴۵ sccm برای رشد نانولوله‌های کربنی وارد رآکتور شد. در مرحله بعد نمونه‌های نانولوله کربنی با اکسید روی پوشش داده شد. برای اینکار، ابتدا لایه‌های فلز روی بر نمونه‌های نانولوله کربنی بهوسیله فرآیند انباشت بخار فیزیکی گرمایی انباشته و سپس این نانولوله‌های کربنی با پوشش در یک محفظه کوارتزی که در کوره افقی قرار داده شده، اکسید گردید. عمل اکسیداسیون در هوا و در دمای ۴۲۰ درجه سانتیگراد انجام شد. ساختار نانوکامپوزیت نانولوله کربنی با اکسید روی توسط میکروسکوپ الکترونی روبشی گسیل میدانی (FESEM) بررسی شدند، همچنین خواص نوری نمونه‌ها هم با طیف سنجی رامان تحقیق شد.

یکی از جالب‌ترین پدیده‌ها، که نتیجه مستقیمی از تونل‌زنی کوانتموی است، پدیده گسیل میدانی است. جریان گسیل میدانی از معادله فاؤلر-نوردھیم بدست می‌آید. برای بررسی خواص نمونه‌ها، یک مدار طراحی شد. در این مدار، گسیل میدانی الکترون نانولوله‌ها و همچنین نانولوله کربنی با اکسید روی با یک چینش دیود مانند اندازه‌گیری شد. در این آرایش دیود مانند، نمونه‌های آماده شده روی بستر به عنوان کاتد و سیلیکون خام به عنوان آند قرار گرفتند.

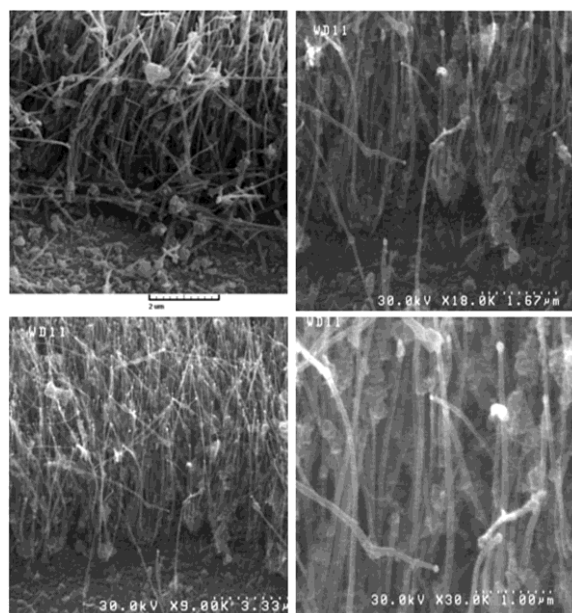
## ۳. نتایج و بحث

شکل ۱ تصاویر میکروسکوپ الکترونی روبشی گسیل میدانی (FESEM) نانولوله‌های کربنی رشد یافته به صورت عمودی را نشان می‌دهد. در این شکل، نانولوله‌ها با طول تقریبی ۳ میکرومتر مشاهده می‌شود که به صورت عمودی روی بستر رشد یافته‌اند.

شکل ۲ با ساختار نانولوله‌های کربنی پوشش داده شده با اکسید روی مرتبط است. اگرچه هیچ تغییر معناداری در ساختار نانولوله‌های کربنی این نمونه‌ها دیده نمی‌شود (به طور مثال، قطر لوله‌ها به طور تقریبی ثابت می‌ماند)، ولی به طور قابل توجهی، ذرات بسیار زیادی دانه مانند روی سطح نانولوله‌ها ظاهر شده است.



شکل ۱: تصاویر FESEM نanolوله‌های کربنی رشد یافته به صورت عمودی با طول تقریبی ۳ میکرومتر

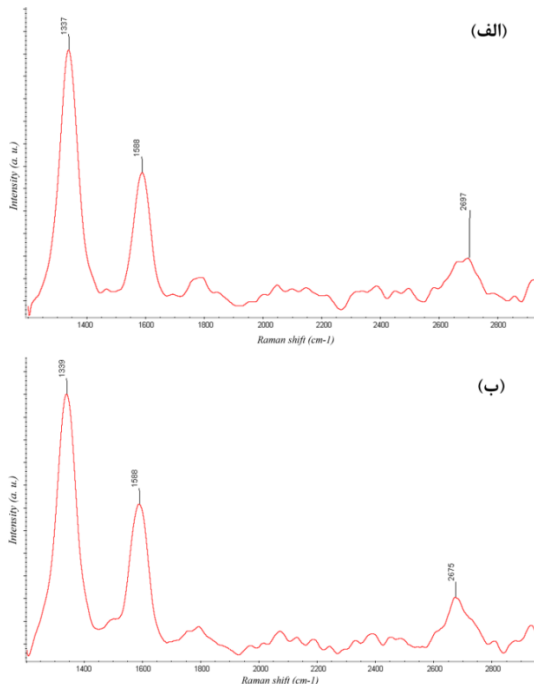


شکل ۲: تصاویر FESEM نanolوله‌های کربنی پوشیده شده با اکسیدروی

شکل ۳ و شکل ۴ نیز طیف رامان (با لیزر Nd:YAG با طول موج ۵۳۲ نانومتر) نمونه‌های نanolوله کربنی قبل و بعد از انباشت اکسید روی را نمایش می‌دهد. در شکل ۳ که برای عدد موج‌های بالای  $cm^{-1}$  ۱۲۰۰ است در قسمت (الف) این شکل، سه قله رامان واضح در  $cm^{-1}$  ۱۳۳۷،  $1588$  و  $2697 cm^{-1}$  وجود دارد. این سه قله از ویژگی‌های بارز نanolوله کربنی است و وجود نanolوله کربنی چند دیواره را تأیید می‌کند. قله موجود در  $1337 cm^{-1}$  به عنوان نوار D،  $1588 cm^{-1}$

بهعنوان نوار G و قله  $2697\text{ cm}^{-1}$  بهعنوان نوار' G قله‌های مرتب با نانو لوله کربنی شناخته شده هستند.

هر سه قله در شکل ۳ (ب) نیز برای نمونه پوشیده شده با اکسید روی ظاهر می‌شود و هیچ تغییر مشخصی نسبت به نمونه‌های بدون پوشش یافت نمی‌شود. به هر حال در محدوده عدد موج‌های زیر  $1200\text{ cm}^{-1}$  [شکل ۴ (الف) و ۴ (ب)], ۲ قله در  $434\text{ cm}^{-1}$  و  $586\text{ cm}^{-1}$  برای نمونه‌های با پوشش اکسید روی وجود دارد که در نمونه نانو لوله کربنی خالص نیست. این قله‌ها با لایه اکسید روی مرتب هستند. یک قله در این محدوده که بهعنوان قله E1 (LO) شناخته می‌شود بهخاطر ناخالصی‌ها و نقص‌های شبکه‌ای است اما طول موج بلندتر در  $434\text{ cm}^{-1}$  بهعنوان E2 (high) شناخته شده که این قله مرتب با کیفیت خوب بلوری لایه‌های اکسید روی است.



شکل ۳: طیف رامان عدد موج‌های زیر  $1200\text{ cm}^{-1}$  از (الف) نانولوله‌های کربنی (ب) نانولوله‌های کربنی پوشیده شده با اکسید روی

خاصیت گسیل میدانی نمونه‌ها شامل نانولوله‌های با پوشش اکسید روی و نانولوله‌های خالص اندازه‌گیری شدند. نمونه‌های آماده شده روی بستر بهعنوان کاتد و بستر سیلیکونی بهعنوان آند انتخاب شدند. به وسیله لایه‌ای عایق که روی لبه‌های کناری آند قرار داده شد بین این دو الکترود فاصله میکرومتری ایجاد تا آرایش دیود مدار تأمین شود. مشخصه جریان-ولتاژ گسیل میدانی به وسیله معادله فاؤلر-نوردهیم (F-N) ساده‌سازی شده (معادله ۱) بررسی می‌شود:

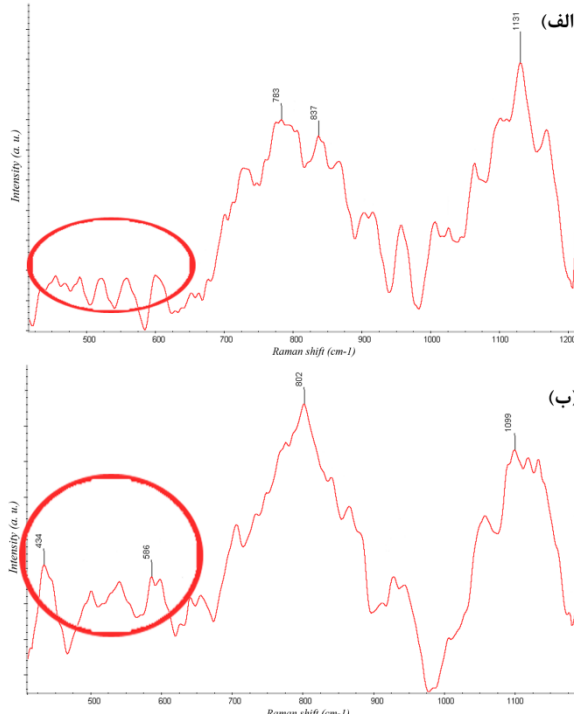
(۱)

$$J = \frac{A\beta^2 E^2}{\varphi^2} \exp\left(\frac{-B\varphi^{\frac{3}{2}}}{E\beta}\right)$$

که در این معادله،  $J$  چگالی جریان گسیل شده،  $E$  شدت میدان ماکروسکوپیک،  $\varphi$  تابع کار گسیل کننده و  $A$  و  $B$  ثابت های معادله فاؤلر-نوردهیم با مقادیر زیر هستند:

$$A = 1.56 \times 10^{-10} \text{ AeVV}^{-2}$$

$$B = 6.83089 \text{ eV}^{-3/2} \text{ V} \mu\text{m}^{-1}$$

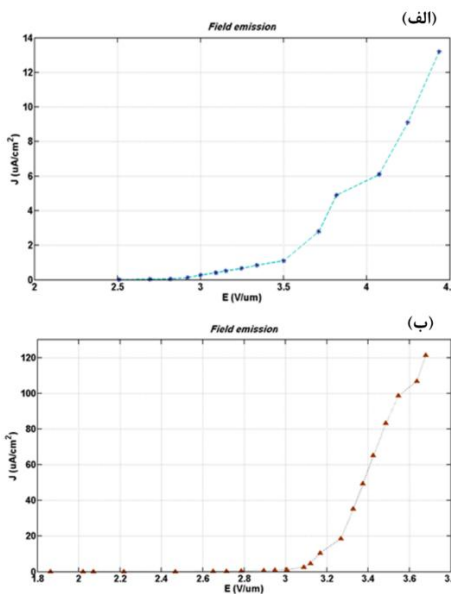


شکل ۴: طیف رامان برای عدد موجهای زیر  $1200 \text{ cm}^{-1}$  از (الف) نانولوله های کربنی (ب) نانولوله های کربنی پوشیده شده با اکسید روی.

از معادله (۱) واضح است که اگر تابع کار مشخص باشد آنگاه  $\beta$  فاکتور افزایش گسیل میدانی را، که پارامتر مرتبط کننده بین بزرگی میدان موضعی نزدیک به نوک گسیل کننده و مقدار میانگین بزرگی میدان ماکروسکوپیک است، می توان از شبیه نمودار فاؤلر-نوردهیم  $\ln(j/E^2)$  بر حسب  $E$  محاسبه نمود [۲].

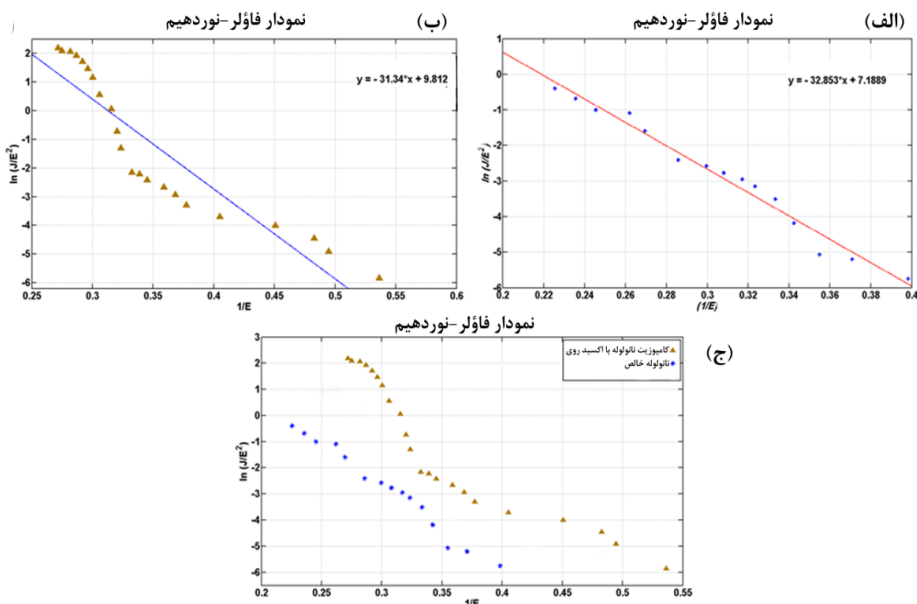
شکل ۵ نمودار چگالی جریان ( $\mu\text{A}/\text{cm}^2$ ) را بر حسب شدت میدان الکتریکی بین دو الکترود ( $V/\mu\text{m}$ ) برای دو نمونه نشان می دهد. میدان روشن شدن برای یک گسیل کننده به عنوان میدان ماکروسکوپیک خارجی مورد نیاز برای خروج چگالی جریان به میزان  $1 \mu\text{A}/\text{cm}^2$  تعریف می شود.

همانطور که دیده می شود میدان روشن شدن برای نانولوله های کربنی بدون پوشش  $V/\mu\text{m}^{3/4}$  و برای نانولوله های با پوشش اکسید روی  $V/\mu\text{m}^{2/98}$  است.



شکل ۵. نمودار چگالی جریان ( $\text{A}/\text{cm}^2$ ) بر حسب شدت میدان الکتریکی ( $V/\mu\text{m}$ ) بین دو الکترود برای (الف) نانولوله های کربنی (ب) نانولوله های کربنی پوشش داده شده با اکسید روی.

شکل ۶ نیز نمودار فاکتور نوردهیم را برای دو نمونه مختلف مذکور نمایش می دهد. تابع کار برای نانولوله های کربنی ۵ الکترونولت [۱۶]، و برای اکسید روی  $5/3$  الکترونولت [۲۰] فرض می شود، بنابراین مقدار تابع کار برای کامپوزیت نانولوله کربنی با اکسید روی به طور تقریبی  $5/15$  الکترونولت می باشد. از این رو مقدار فاکتور افزایش میدان  $\beta$  برای نانولوله های کربنی ۲۳۲۴ و برای نانولوله های کربنی با پوشش اکسید روی ۲۵۷۴ بدست می آید. با مقایسه بین خواص گسیل میدانی دو نمونه فهمیده می شود که کامپوزیت نانولوله های کربنی با اکسید روی نسبت به نمونه های نانولوله کربنی خالص توانایی گسیل میدانی بهتری دارند، زیرا این کامپوزیت میدان روشن شدن پایین تر و فاکتور افزایش میدان بالاتری نسبت به نانولوله های کربنی قبل از انباشت اکسید روی دارند و در نتیجه طبق مطالب پیش گفته کامپوزیت نانولوله کربنی پوشیده شده با اکسید روی در مجموع، گزینه به مرتبه بهتری از نانولوله های کربنی بدون انباشت یا پوشش برای استفاده به عنوان نانو گسیل کننده های میدانی هستند.



شکل ۶: نمودار فاؤلر-نوردهیم برای (الف) نانولوله‌ها کربنی (ب) کامپوزیت نانولوله‌ها با اکسید روی و (ج) نانولوله‌ها و کامپوزیت مذکور در یک نمودار برای مقایسه

### تشکر و قدردانی

از تمامی دانشجویان تحصیلات تکمیلی دانشگاه پدافند هوایی خاتم الانبیاء(ص) که در این پژوهش به عنوان نمونه پژوهش حضور داشتند، تشکر و قدردانی می‌نماییم.

### تعارض منافع

هیچ گونه تعارض منافع از سوی نویسنده‌گان گزارش نشده است.

### ۴. نتیجه گیری

آرایه‌ای از نانوگسیل کننده‌های میدانی برای استفاده به عنوان کاتد سرد در ابزارهای مبتنی بر خلاء مانند لامپ‌های موج رونده، لامپ کلایسترون، ژیروتون و همچنین نوسان‌سازهای بازنابی کلایسترون مورد توجه هستند. ساخت این آرایه‌ها می‌تواند بر نانولوله‌های کربنی به انجام رسیده است. در این نوشتار خاصیت گسیل میدانی نانولوله‌های کربنی با نشاندن اکسیدروی بر بدنه لوله‌ها بهبود یافت. میدان روشن شدن کاهش یافت و فاکتور افزایش میدان بالا رفت. از آنجایی که نانولوله‌های کربنی و اکسید روی تابع کار تقریباً یکسانی دارند، پس بهبود در خواص گسیل میدانی نمی‌تواند فقط ثمرة حضور اکسید روی در این کامپوزیت باشد بلکه ذره‌های اکسید روی دانه مانند که به صورت پراکنده روی بدنه نانولوله‌ها نشسته‌اند، خودشان به عنوان منابع گسیل

میدان خوب، عمل می‌کنند. به عبارت دیگر نانوذرات اکسید روی دانه مانند در این کامپوزیت به عنوان مکان‌ها و منابع گسیل میدان اضافه بر نوک نانولوله‌ها عمل می‌کنند، زیرا آن‌ها انداره کوچک و شکل کروی دارند که باعث می‌شود نوک‌های تیز و کوچک زیادی روی بدنه نانولوله‌ها ایجاد شود و این منجر به ایجاد میدان‌کتریکی موضعی اضافی در این نواحی نوک تیز گردد. بنابراین انتظار می‌رود که نانوذرات اکسید روی با پراکندگی مناسب که سایز کوچک و نوک کروی دارند می‌توانند به عنوان گسیل کننده‌های مستقل روی سطح نانولوله‌های کربنی، علاوه بر نوک نانولوله‌های کربنی عمل کنند و بنابراین گسیل میدانی نانولوله‌های کربنی بعد از انباشت اکسید روی بهمود می‌یابد.

به همین علت می‌توان از این کامپوزیت به عنوان منابع گسیل میدان الکترون در ابزارهای مختلف الکترونیکی مورد استفاده در صنایع تجاری از جمله نمایشگرهای صفحه تخت، پروب‌های روشنی و ... یا در صنایع نظامی به عنوان آرایه نانوگسیل کننده‌های میدانی در لامپ‌های نانو کلایسترون، ژیروتون و غیره برای استفاده در رادار، تفنگ الکترونی، سلاح‌های الکترومغناطیسی و سایر قطعاتی که بر پایه گسیل میدان الکترون عمل می‌کنند، استفاده نمود.

## ۵. منابع

- [1] Y. Xia, P. Yang, and et al. “One-dimensional nanostructures: Synthesis, characterization, and applications”. *Adv. Matter.* (Weinheim, Ger.), 15, pp. 353–389, 2003.
- [2] C. S. Huang, C. Y. Yeh, and et al. “Field emission properties of CNT-ZnO composite materials”. *Diamond & Relat. Mater.* 18 pp.452-456, 2009.
- [3] S. Iijima, “Helical microtubules of graphitic carbon”. *Nature (London)*, 354, pp. 56-58, 1991.
- [4] W. A. de Heer, A. Châtelain, and et al. “A Carbon Nanotube Field-Emission Electron Source”. *Science*, 270, pp. 1179-1180, 1995.
- [5] A. G. Rinzler, J. H. Hafner, and et al. “Unraveling Nanotubes: Field Emission from an Atomic Wire”. *Science*, 269, pp. 1550-1553, 1995.
- [6] W. B. Choi, D. S. Chung, J. H. Kang, and et al. “Fully sealed, high-brightness Carbon-nanotube field-emission display”. *Appl. Phys. Lett.* 75, pp. 3129-3131, 1999.
- [7] N. de Jonge, Y. Lamy, and et al. “High brightness electron beam from a multi-walled carbon nanotube”. *Nature (London)*, 420, pp. 393-395, 2002.
- [8] J. Jiao, L. F. Dong, and et al. “Fabrication and Characterization of Carbon Nanotube Field Emitters”. *Mater. Res. Soc. Symp. Proc.*, 706, pp. 113-117, 2002.
- [9] M. Balucani, S. Scafè, and et al. “Nano-Klystron: new Design and Technology for THz Source”. 6th UK, Europe, China Millimeter Waves and THz Technology Workshop (UCMMT), Rome, Italy, 9 - 11 September 2013.
- [10] H. Lee, J. S. Kang, K. Park. “Fabrication of high current carbon nanotube emitters for gyrotron devices”. 31st International Vacuum Nano electronics Conference (IVNC). Kyoto, Japan 9 – 13 July, 2018.
- [11] X. Yuan, W. Zhu, and et al. “A Fully-Sealed Carbon-Nanotube Cold-Cathode Terahertz Gyrotron”. *Scientific reports*, 6, 32936, 2016.
- [12] H. M. Manohara, and et al. “Design and Fabrication of A THZ NanoKlystron”. In

- Proceedings of the Far-IR, Sub-mm & MM Detector Technology Workshop, Monterey, CA, USA, 1–3 April 2002.
- [13] H. M. Manohara, and et al. “Fabrication and emitter measurements for a nanoklystron: A novel THz micro-tube source”. Third IEEE International Vacuum Electronics Conference (IEEE Cat. No.02EX524), pp. 28-29, 2002.
- [14] J.Li, Y. Zhang, and et al. “A Carbon-Nanotube Cold-Cathode Reflex Klystron Oscillator: Fabrication @ X-Band and Returning Electron Beam Realization”. Electronics, 11, 1231, 2022.
- [15] W. Zhu, C. Bower, and et al. "Large current density from carbon nanotube field emitters". Appl. Phys. Lett., 75, pp. 873-875, 1999.
- [16] J. M. Bonard, J. P. Salvetat, and et al. “Field emission from carbon nanotubes: perspectives for applications and clues to the emission mechanism”. Appl. Phys. A: Mater. Sci. Process., 69, pp. 245-254, 1999.
- [17] M. Sveningsson, R.E. Morjan, and et al. “Raman spectroscopy and field emission properties of CVD-grown carbon nanotube films”. Appl. Phys. A, 73, pp. 409-418, 2001.
- [18] Z. L. Wang, “Zinc oxide nanostructures: growth, properties and applications”. J. phys.: Condense. Matter, 16, R829. 2001.
- [19] S. J. Pearton, D. P. Norton, and et al. "Recent progress in processing and properties of ZnO". Super lattice Microstructure., 34, pp. 3-32, 2003.
- [20] C. J. Lee, T. J. Lee, and et al. "Field emission from well-aligned zinc oxide nanowires grown at low temperature". Appl. Phys. Lett., 81, pp. 3648-3650, 2002.